

03

Влияние теплового граничного условия на стенке плоского канала и аксиальной теплопроводности жидкости на теплообмен при ламинарном пульсирующем течении в квазистационарном режиме

© Е.П. Валуева

Московский энергетический институт (Национальный исследовательский университет), Москва, Россия
E-mail: ep.valueva@gmail.com

Поступило в Редакцию 9 января 2025 г.

В окончательной редакции 27 февраля 2025 г.

Принято к публикации 27 февраля 2025 г.

Исследована возможность повышения эффективности теплопередающих устройств с помощью наложения на ламинарное течение пульсаций расхода с большими амплитудами колебаний. Наибольшее увеличение теплоотдачи при пульсирующем течении по сравнению со случаем стационарного течения происходит в области относительно низких частот пульсаций расхода, т.е. в квазистационарном режиме. Среднее по длине канала и времени число Нуссельта может возрасти на 50 % по сравнению с его значением при стационарном течении, а в случае влияния аксиальной теплопроводности жидкости для малых чисел Пекле и относительно коротких труб — в несколько раз.

Ключевые слова: теплообмен, пульсирующее квазистационарное течение, аксиальная теплопроводность.

DOI: 10.61011/PJTF.2025.11.60482.20253

Рассматривается теплообмен при ламинарном пульсирующем течении в плоском канале. Средняя по сечению скорость $\langle u \rangle$ изменяется во времени по гармоническому закону

$$\langle U \rangle = 1 + A \cos(\omega t),$$

где $\langle U \rangle = \langle u \rangle / \langle \bar{u} \rangle$, $\langle \bar{u} \rangle$ — средняя по сечению и времени скорость, A — амплитуда колебаний, ω — круговая частота.

Нестационарное уравнение энергии при развитом течении имеет следующий вид:

$$\text{Wo}_T^2 \frac{\partial \vartheta}{\partial t_\omega} + U \frac{\partial \vartheta}{\partial X} = \frac{\partial^2 \vartheta}{\partial Y^2} + \frac{1}{\text{Re}^2} \frac{\partial^2 \vartheta}{\partial X^2}. \quad (1)$$

Здесь $t_\omega = t\omega$ — безразмерное время; $X = x/(h\text{Re})$, $Y = y/h$ — безразмерные продольная и поперечная координаты; $\vartheta = \lambda(T - T_0)/(hq_w)$ — безразмерная температура при заданной плотности теплового потока на стенке $q_w = \text{const}$; $U = u/\langle \bar{u} \rangle$ — безразмерная продольная скорость; $\text{Re} = \text{RePr}$ — число Пекле; $\text{Re} = \langle \bar{u} \rangle h/\nu$ — число Рейнольдса; ν — кинематический коэффициент вязкости; $\text{Wo}_T = 2\text{Wo}\sqrt{\text{Pr}}$, $\text{Wo} = \frac{h}{2} \sqrt{\frac{\rho}{\nu}}$ — число Вомерсли; h — ширина канала; T_0 — температура на входе в канал.

Одним из способов интенсификации теплообмена в различных теплопередающих устройствах может являться наложение пульсаций расхода на ламинарное течение. В [1] проведена классификация режимов пульсирующего ламинарного течения. По значению чисел Вомерсли выделяются следующие режимы: квазистационарный (Wo , $\text{Wo}_T < 1$), высокочастотный (Wo , $\text{Wo}_T > 10$) и промежуточный. Показано, что увеличение теплоотдачи при пульсирующем течении по сравнению со случаем

стационарного течения возможно только при высоких амплитудах колебаний $A > 1$. Установлено, что наибольшее увеличение теплоотдачи происходит в области относительно низких частот пульсаций расхода, т.е. в квазистационарном режиме. В этом случае, при $\text{Wo}_T \ll 1$, первый член в уравнении (1) можно опустить и решать стационарное уравнение энергии. Если рассматривается теплообмен при развивающемся течении, продольная и поперечная составляющие скорости находятся из решения системы стационарных уравнений движения и неразрывности. В [2,3] предложен способ использования данных о гидродинамических и тепловых характеристиках стационарного течения для получения этих характеристик при квазистационарном пульсирующем течении:

$$U(X, Y, \omega t) = U_s(X/\langle U \rangle, Y)\langle U \rangle,$$

$$\vartheta(X, Y, \omega t) = \vartheta_s(X/\langle U \rangle, Y),$$

$$\Delta \vartheta(X, \omega t) = \Delta \vartheta_s(X/\langle U \rangle). \quad (2)$$

Здесь U_s , ϑ_s , $\Delta \vartheta_s$ — скорость, температура, температурный напор (разница между температурой стенки и средней массовой температурой жидкости), полученные из решения стационарных уравнений.

Для анализа влияния пульсаций расхода на гидродинамику и теплообмен в [3] предложено разделить период колебаний на две части, в первой из которых жидкость движется от входа в канал к его выходу (прямое течение), а во второй части периода — в противоположном направлении (обратное течение). Такое разделение позволяет использовать полученные данные для расчета различных теплопередающих устройств, в

частности теплообменных аппаратов, в которых осуществляется интенсификация теплообмена. На практике длина обогреваемого участка канала L_q является конечной величиной. Для обратного течения в соотношениях (2) расстояние от начала обогрева X следует заменить на $X-L_q$.

Начиная с 60-х годов прошлого века проводилось исследование теплообмена при наличии аксиальной теплопроводности жидкости. Работы [4–8] выполнены для развитого течения и бесконечных длин обогреваемого и предшествующего ему адиабатического участка: $L_q \rightarrow \infty, L_0 \rightarrow -\infty$. На входе в адиабатический участок задавался равномерный профиль температуры. На выходе из обогреваемого участка в некоторых работах распределение температуры по поперечной координате находилось из решения уравнения энергии, в котором не учитывается аксиальная теплопроводность жидкости. В других работах полагалось, что на выходе температуры изменяются в продольном направлении по закономерностям, соответствующим случаю отсутствия влияния аксиальной теплопроводности. В работах [5–8] рассматривалось течение в круглой трубе, а в [7,8] — кроме того, и в плоском канале. Расчеты с граничным условием первого рода на стенке обогреваемого участка проведены в [4,6,8], а с граничным условием второго рода — в [5–8]. Приближенный аналитический метод решения задачи (разложение по собственным функциям) использован в [4,5,7]. При этом на границе адиабатического и обогреваемого участков ставились условия равенства температур и их производных по длине (последнее условие не должно выполняться точно, так как оно не следует из уравнения энергии). В [6,8] решение задачи получено методом конечных разностей.

В теплопередающих устройствах теплоносители обычно поступают в канал с постоянной температурой. Адиабатический участок отсутствует, его длина равна нулю. Обогреваемый участок имеет конечную длину L_q . На выходе из обогреваемого участка температура жидкости в продольном направлении не изменяется. Задача в описанной выше постановке решена впервые.

Решается стационарное уравнение энергии для развитого течения

$$U \frac{\partial \vartheta}{\partial X} = \frac{\partial^2 \vartheta}{\partial Y^2} + \frac{1}{\text{Pe}^2} \frac{\partial^2 \vartheta}{\partial X^2}. \quad (3)$$

Граничные условия для уравнения (3) имеют следующий вид: при $X = 0 \vartheta = 0$, при $X = L_q \partial \vartheta / \partial X = 0$, при $Y = 0 \partial \vartheta / \partial Y = 0$, при $Y = 1/2 \partial \vartheta / \partial Y = 1$.

При развитом течении в плоском канале $U = 1.5(1 - 4Y^2)$.

Решение зависит от числа Пекле Pe и длины обогреваемого участка L_q . Число Нуссельта вычисляется по соотношению $\text{Nu}_s = 1/\Delta \vartheta_s$.

Для решения уравнения (3) разработана новая безусловно устойчивая конечно-разностная схема, являющаяся комбинацией двух известных схем: итерационных методов Гаусса–Зейделя и продольно-поперечной

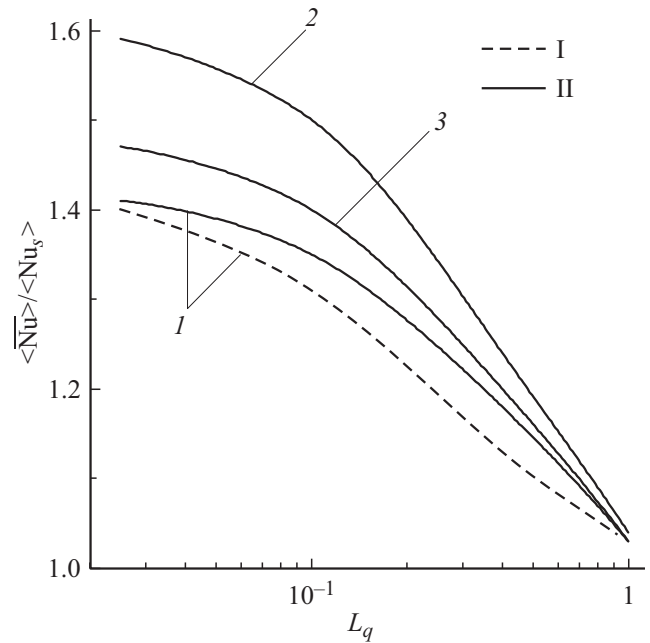


Рис. 1. Зависимость среднего по времени и длине канала числа Нуссельта от длины обогреваемого участка при граничном условии первого рода. 1 — $\langle \overline{\text{Nu}} \rangle / \langle \text{Nu}_s \rangle$, 2 — $\langle \overline{\text{Nu}}^d \rangle / \langle \text{Nu}_s \rangle$, 3 — $\langle \overline{\text{Nu}}^r \rangle / \langle \text{Nu}_s \rangle$. I — $\langle \overline{\text{Nu}}_1 \rangle / \langle \text{Nu}_s \rangle$, II — $\langle \overline{\text{Nu}}_2 \rangle / \langle \text{Nu}_s \rangle$.

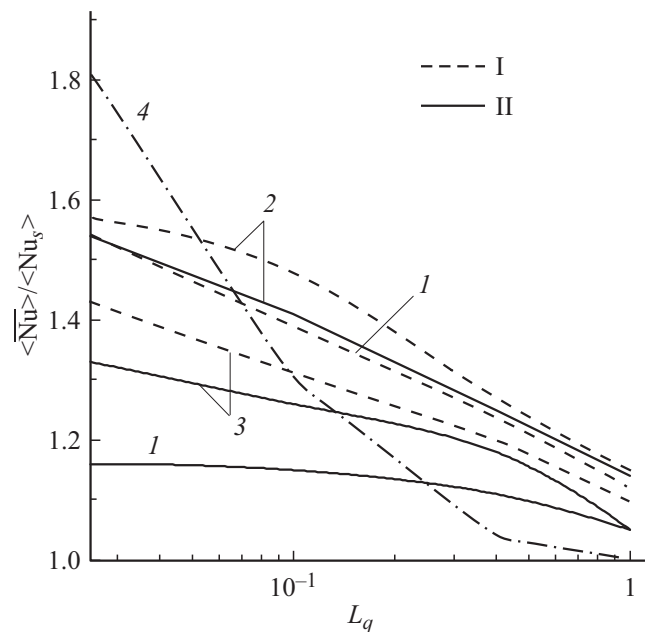


Рис. 2. Зависимость среднего по времени и длине канала числа Нуссельта от длины обогреваемого участка при граничном условии второго рода. 1 — $\langle \overline{\text{Nu}} \rangle / \langle \text{Nu}_s \rangle$, 2 — $\langle \overline{\text{Nu}}^d \rangle / \langle \text{Nu}_s \rangle$, 3 — $\langle \overline{\text{Nu}}^r \rangle / \langle \text{Nu}_s \rangle$, 4 — $\langle \text{Nu}_s \rangle / \text{Nu}_\infty$. I — $\langle \overline{\text{Nu}}_1 \rangle / \langle \text{Nu}_s \rangle$, II — $\langle \overline{\text{Nu}}_2 \rangle / \langle \text{Nu}_s \rangle$.

прогонки. В этой схеме учтен переход от решения уравнения эллиптического типа к решению уравнения параболического типа при отсутствии влияния акси-

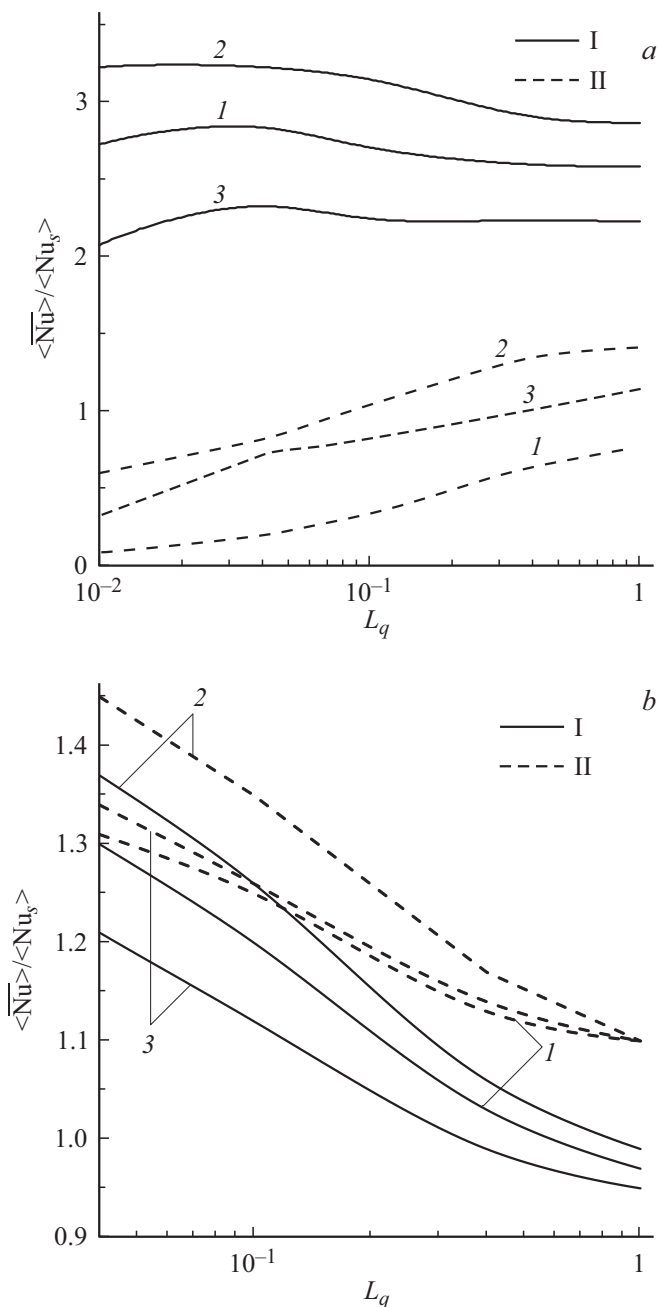


Рис. 3. Зависимости среднего по времени и длине канала числа Нуссельта от длины обогреваемого участка для $Pe = 1$ (a) и 1000 (b). 1 — $\langle \overline{Nu} \rangle / \langle Nu_s \rangle$, 2 — $\langle \overline{Nu}^d \rangle / \langle Nu_s \rangle$, 3 — $\langle \overline{Nu}^r \rangle / \langle Nu_s \rangle$. I — $\langle \overline{Nu}_1 \rangle / \langle Nu_s \rangle$, II — $\langle \overline{Nu}_2 \rangle / \langle Nu_s \rangle$.

альной теплопроводности. Кроме того, использование предложенной схемы позволяет минимизировать число итераций.

Проведена верификация разработанной методики численного моделирования. При отсутствии влияния аксиальной теплопроводности ($Pe \rightarrow \infty$) получено хорошее согласие результатов расчета $Nu_s(X)$ с данными, приведенными в [9]. Различие составляет порядка 10% при $X = 10^{-5}$ и порядка нескольких процентов при

$X = 0.1$. При учете аксиальной теплопроводности рассчитанные изменения числа Нуссельта вдоль канала для малых чисел Пекле и $L_q \rightarrow \infty$, $L_0 \rightarrow -\infty$ и качественно, и количественно совпадают с результатами предыдущих исследований, упомянутых выше. Максимальное различие, как и различие между данными, полученными в указанных выше работах, наблюдается при $Pe = 1$ на входе в обогреваемый участок и находится в пределах 10–15%.

Результаты расчета числа Нуссельта при стационарном течении для ограниченной длины обогреваемого участка использованы для получения данных при квазистационарном пульсирующем течении по методу, описанному выше.

В методике расчета различных теплопередающих устройств используются данные о среднем по длине канала и по времени числе Нуссельта. Осреднение по времени можно провести двумя способами: $Nu_1 \propto 1/\Delta\vartheta$, $Nu_2 \propto 1/\Delta\vartheta$. Для прямого течения осреднение по времени проводится в той части периода, в которой осуществляется течение с положительным значением средней по сечению скорости. Для обратного течения осреднение по времени проводится в той части периода, в которой поток жидкости направлен от выхода к входу в канал.

Результаты расчетов для $A = 5$ представлены на рис. 1–3. Кроме средних чисел Нуссельта для прямого Nu^d и обратного Nu^r течения на рисунках показаны числа Нуссельта, осредненные по всему периоду колебаний \overline{Nu} . Значения \overline{Nu}_1 , $\langle \overline{Nu}_1 \rangle$ находятся между значениями \overline{Nu}_1^d , $\langle \overline{Nu}_1^d \rangle$ и \overline{Nu}_1^r , $\langle \overline{Nu}_1^r \rangle$. Соотношения между Nu_2 и Nu_1 , а также между \overline{Nu}_2 , $\langle \overline{Nu}_2 \rangle$ и \overline{Nu}_2^d , $\langle \overline{Nu}_2^d \rangle$, \overline{Nu}_2^r , $\langle \overline{Nu}_2^r \rangle$, могут быть разными. Они определяются зависимостями температурного напора от времени и расстояния от начала обогрева для прямого и обратного течения.

Расчеты, результаты которых представлены на рис. 1, 2, выполнены ранее для развивающегося течения при $Pr = 0.7$ без учета аксиальной теплопроводности жидкости. Для граничного условия на стенке канала второго рода ($q_w = \text{const}$, рис. 2) увеличение теплоотдачи благодаря наложению пульсаций расхода несколько выше, чем для граничного условия первого рода ($T_w = \text{const}$, рис. 1). При $Pr = 7$ отмеченного различия не наблюдается. На рис. 2 показано также изменение среднего по длине числа Нуссельта вдоль канала для стационарного развивающегося течения по отношению к его стабилизированному значению $Nu_\infty = 4.12$. Следует отметить, что для $Pr \geq 7$ влияние развития течения на отношение чисел Нуссельта при квазистационарном и стационарном течении становится незначительным.

По разработанной методике численного моделирования проведены расчеты развивающегося и развитого стационарного течения в плоском канале с учетом аксиальной теплопроводности жидкости с ограниченными длинами адиабатического и обогреваемого участков. Полученные данные использованы для вычисления чисел Нуссельта при квазистационарном течении, зависящих

от продольной координаты и времени. Расчеты показали, что влияние развития течения на отношение чисел Нуссельта при квазистационарном и стационарном течении несущественно при $Pr > 7$.

Расчеты, результаты которых показаны на рис. 3, проведены для развитого течения с учетом аксиальной теплопроводности жидкости для граничного условия второго рода. В этом случае число Нуссельта зависит не от числа Прандтля, а от числа Пекле. Для малых чисел Пекле порядка нескольких единиц (рис. 3, *a*) и относительно коротких труб теплоотдача возрастает в несколько раз по сравнению с теплоотдачей при стационарном течении. Для больших чисел Пекле, $Pe > 100$ (рис. 3, *b*), когда влияние аксиальной теплопроводности незначительно, теплоотдача увеличивается в несколько меньшей степени, чем для развивающегося течения жидкости с числом Прандтля $Pr = 0.7$ (рис. 2). С возрастанием числа Прандтля указанное различие уменьшается. Расчеты, выполненные для граничного условия первого рода, показали, что вид граничного условия слабо влияет на отношение числа Нуссельта к его значению при стационарном течении.

Финансирование работы

Работа поддержана Российским научным фондом (проект № 23-29-00128).

Конфликт интересов

Автор заявляет, что у нее нет конфликта интересов.

Список литературы

- [1] Е.П. Валуева, М.С. Пурдин, *Теплофизика и аэромеханика*, **23** (6), 893 (2016). [E.P. Valueva, M.S. Purdin, *Thermophys. Aeromech.*, **23** (6), 857 (2016). DOI: 10.1134/S0869864316060081].
- [2] Е.П. Валуева, В.С. Зюкин, *ТВТ*, **60** (1), 56 (2022). DOI: 10.31857/S0040364422010070 [E.P. Valueva, V.S. Zyukin, *High Temp.*, **60** (1), 50 (2022). DOI: 10.1134/S0018151X22010254].
- [3] Е.П. Валуева, *ТВТ*, **62** (4), 536 (2024). DOI: 10.31857/S0040364424040089 [E.P. Valueva, *High Temp.*, **62** (4), 471 (2024). DOI: 10.1134/S0018151X25700051].
- [4] Б.С. Петухов, Ф.Ф. Цветков, *Инж.-физ. журн.*, **4** (3), 10 (1961).
- [5] Б.С. Петухов, *Теплообмен и сопротивление при ламинарном течении жидкости в трубах* (Энергия, М., 1967), с. 196–208.
- [6] D.K. Hennecke, *Wärme Stoffübertragung*, **1** (3), 177 (1968). DOI: 10.1007/BF00751149
- [7] C.-J. Hsu, *Am. Inst. Chem. Eng. J.*, **17** (3), 732 (1971).
- [8] T.V. Nguyen, *Int. J. Heat Mass Transfer*, **35** (7), 1733 (1992). DOI: 10.1016/0017-9310(92)90143-G
- [9] R.K. Shah, A.L. London, *Laminar flow forced convection in ducts* (Academic Press, N.Y., 1978), p. 172, 181, 191, 193.